

Fig. 1A
(PRIOR ART)

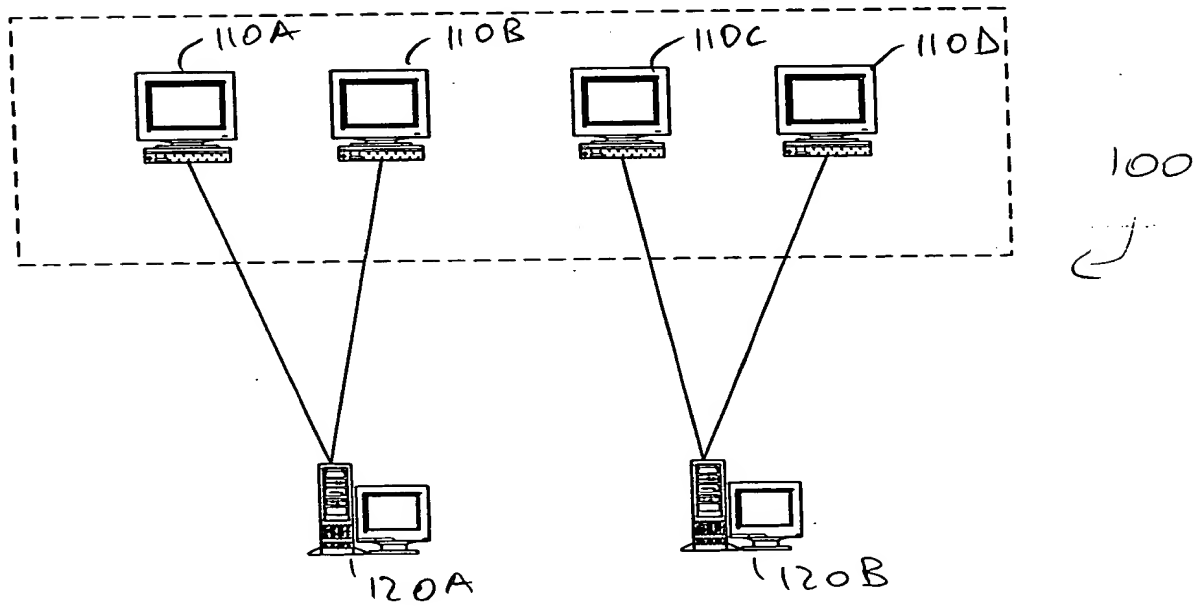


Fig. 1B
(PRIOR ART)

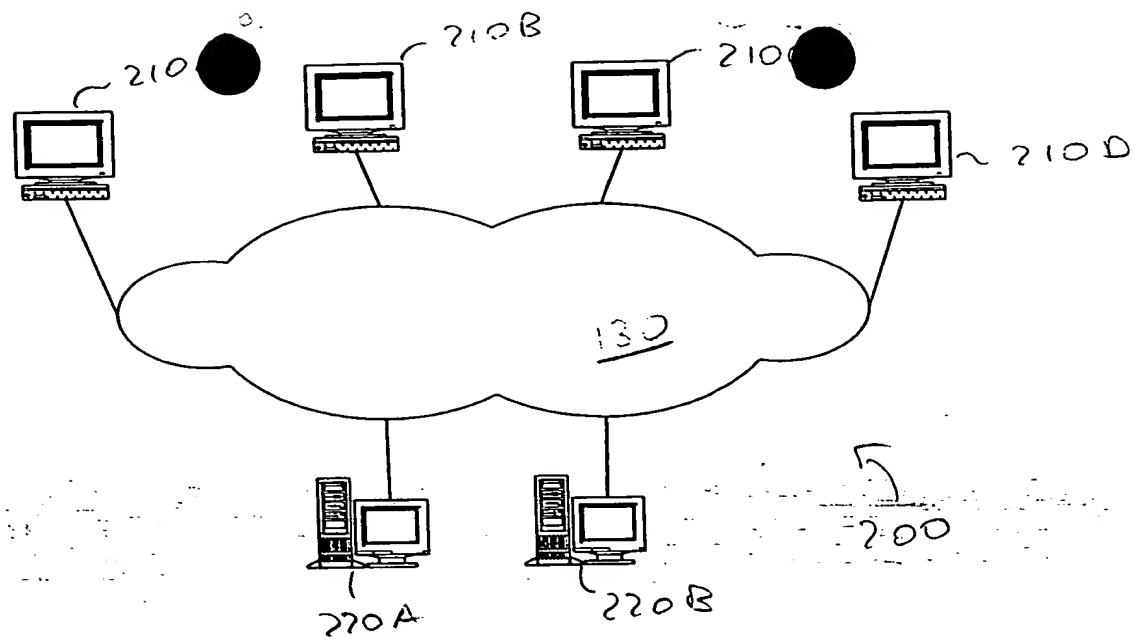


Fig. 2A

RECORDED AND INDEXED BY 2016-07-25 22:50

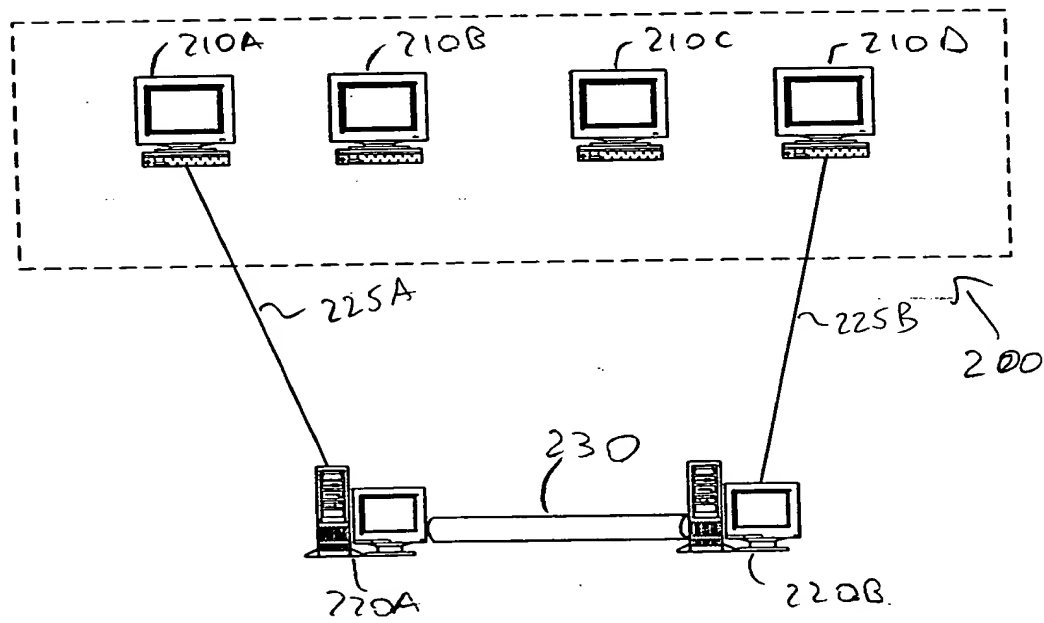
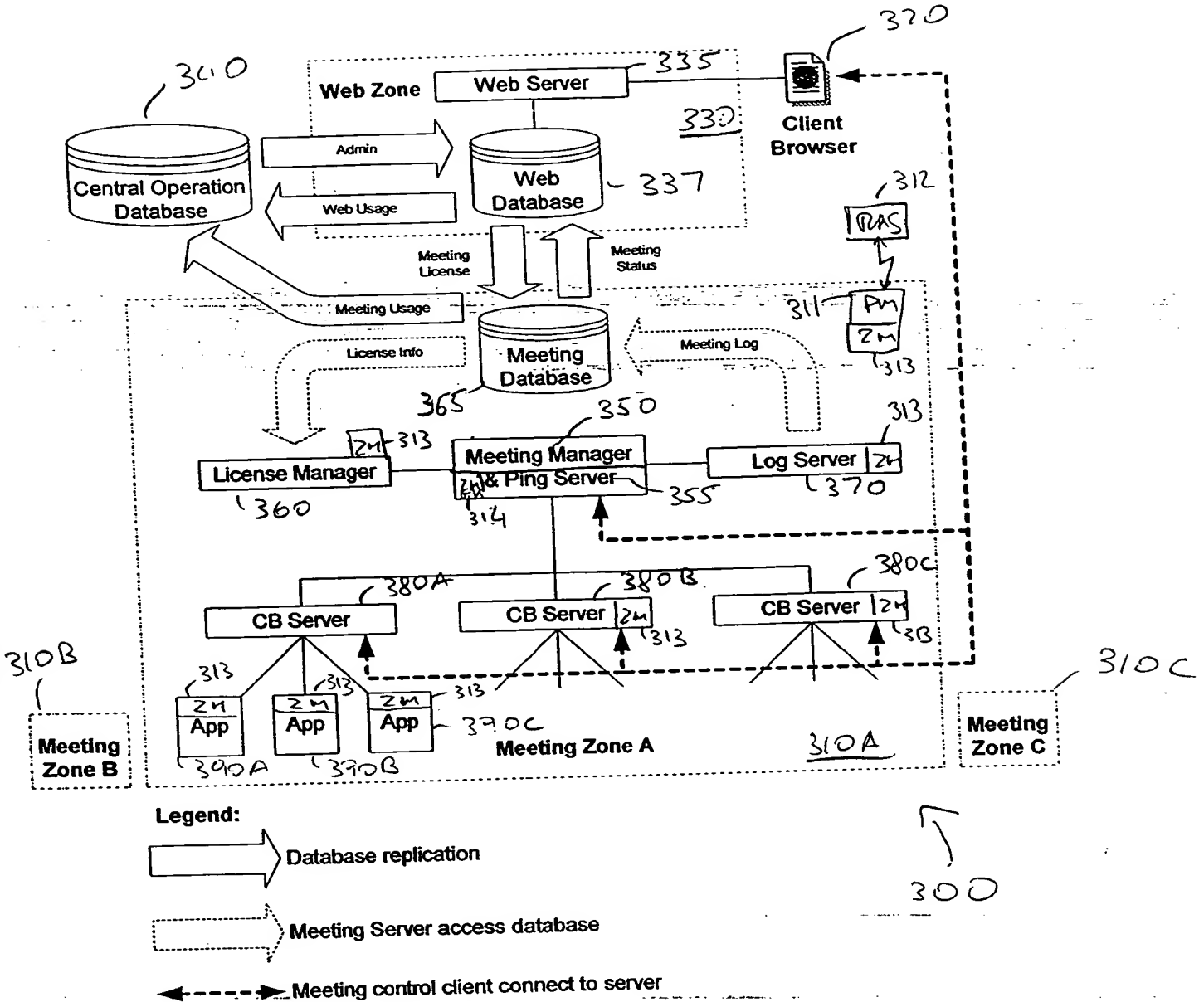


Fig. 2B



Fif. 3

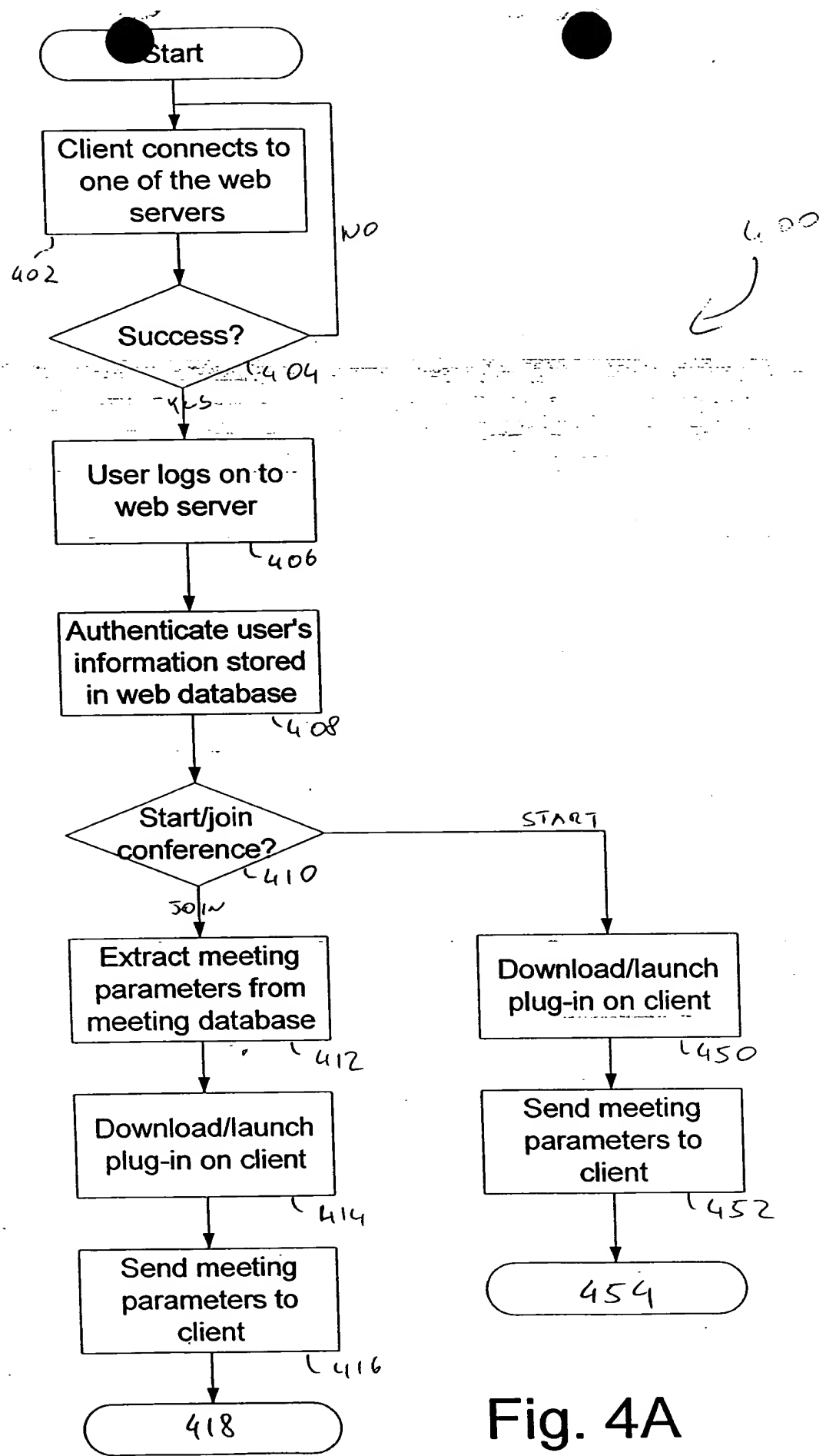


Fig. 4A

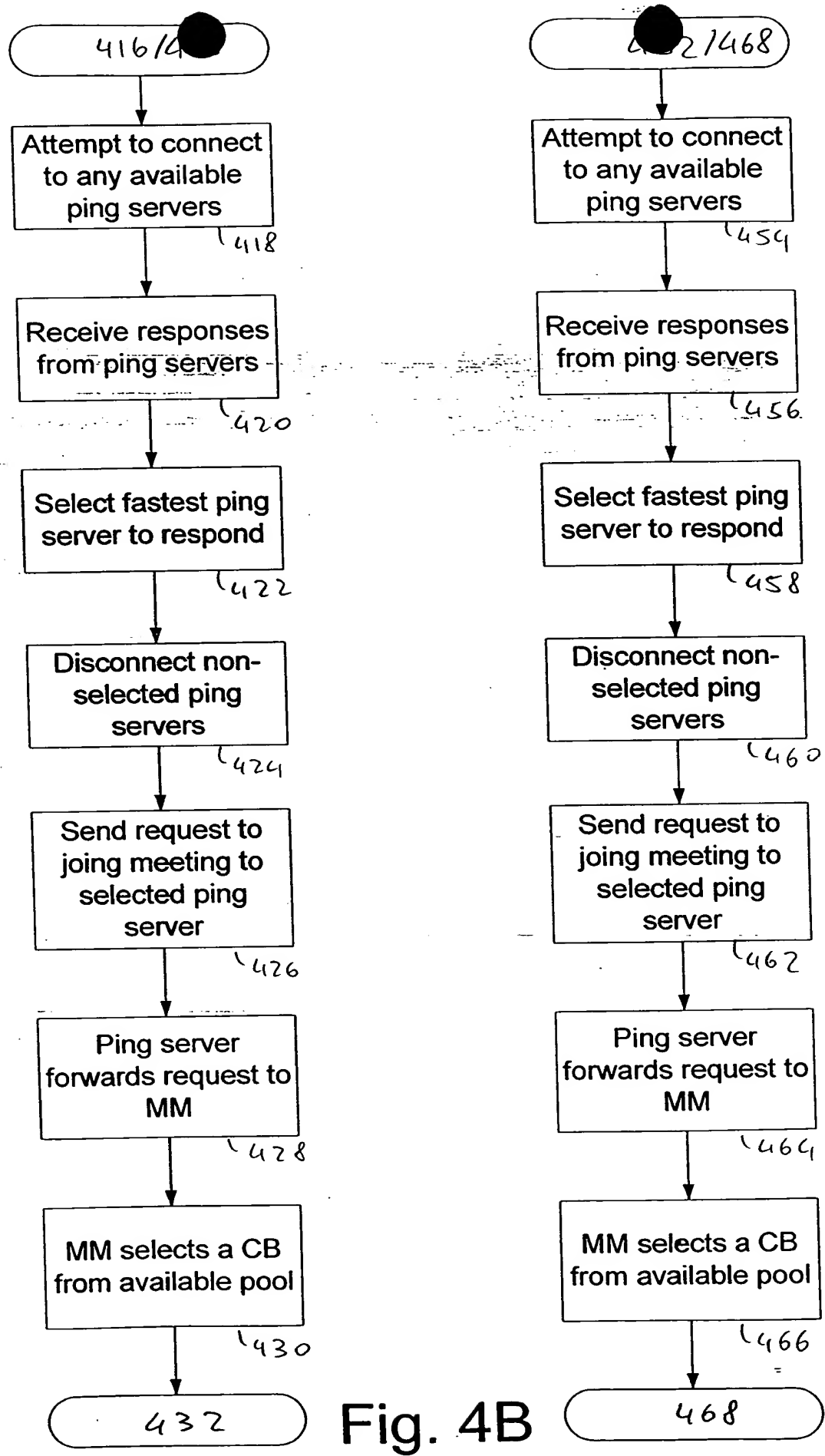


Fig. 4B

4
432

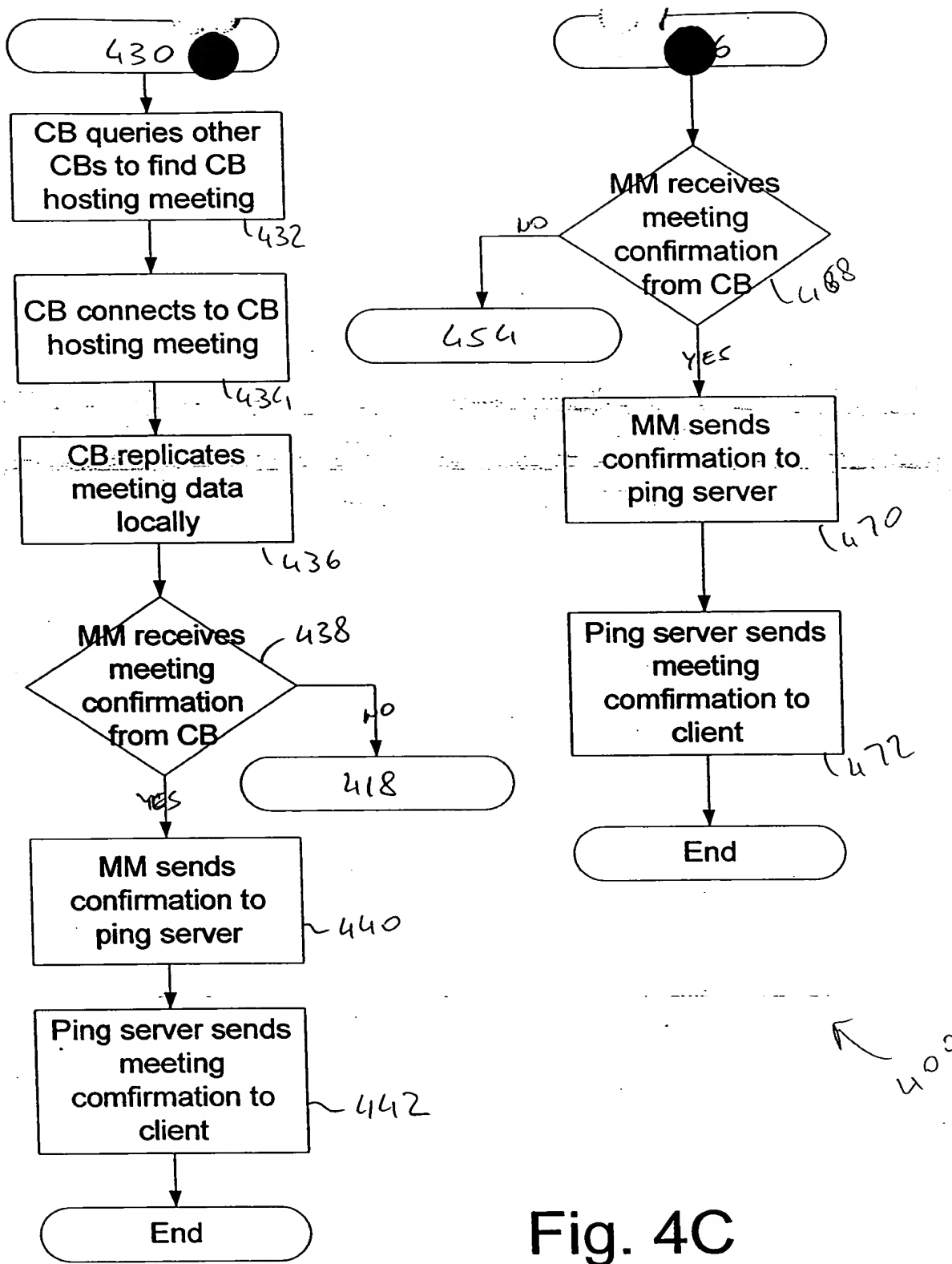


Fig. 4C

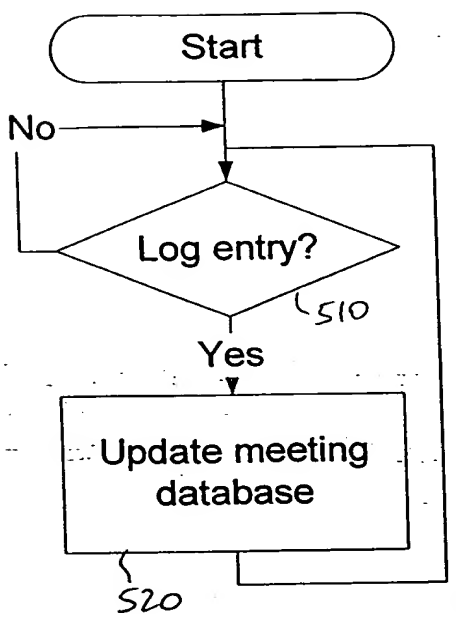


Fig. 5

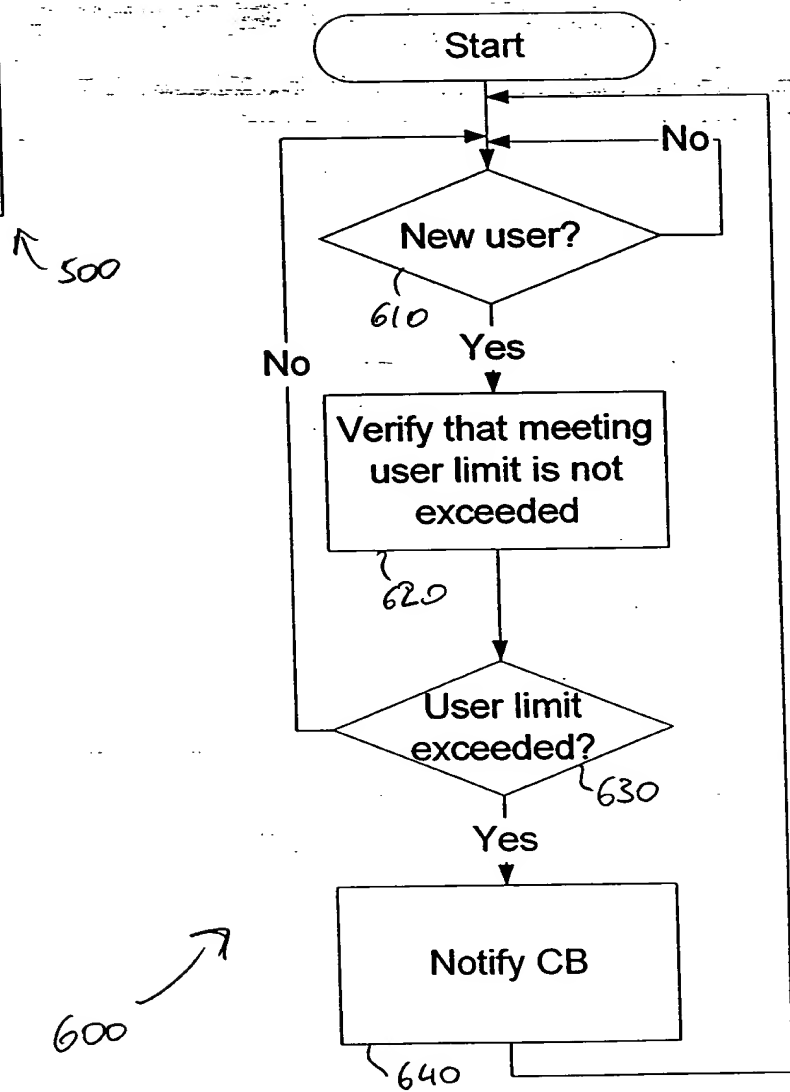


Fig. 6

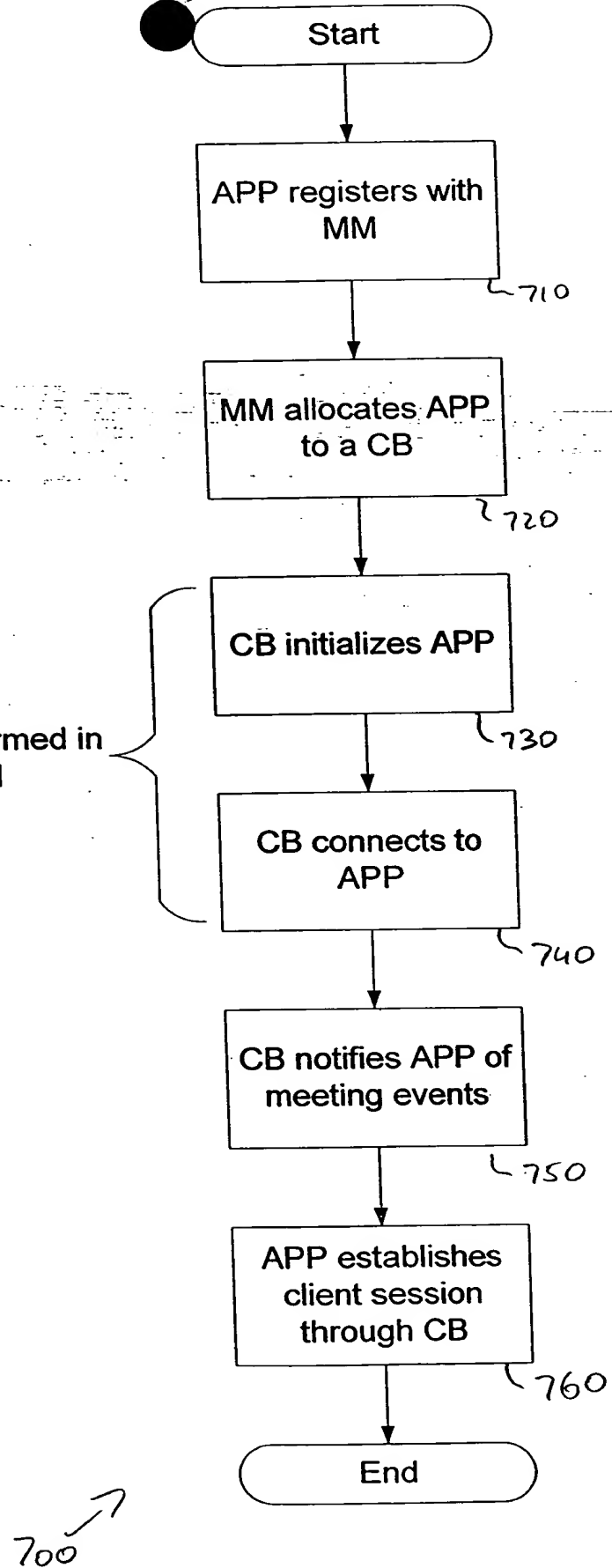


Fig. 7

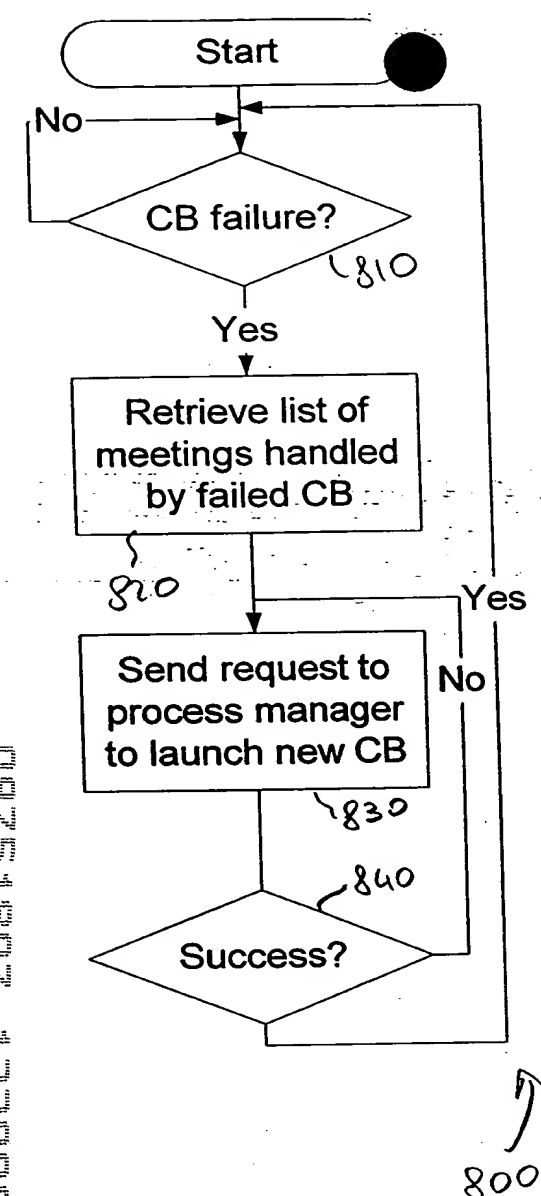


Fig. 8

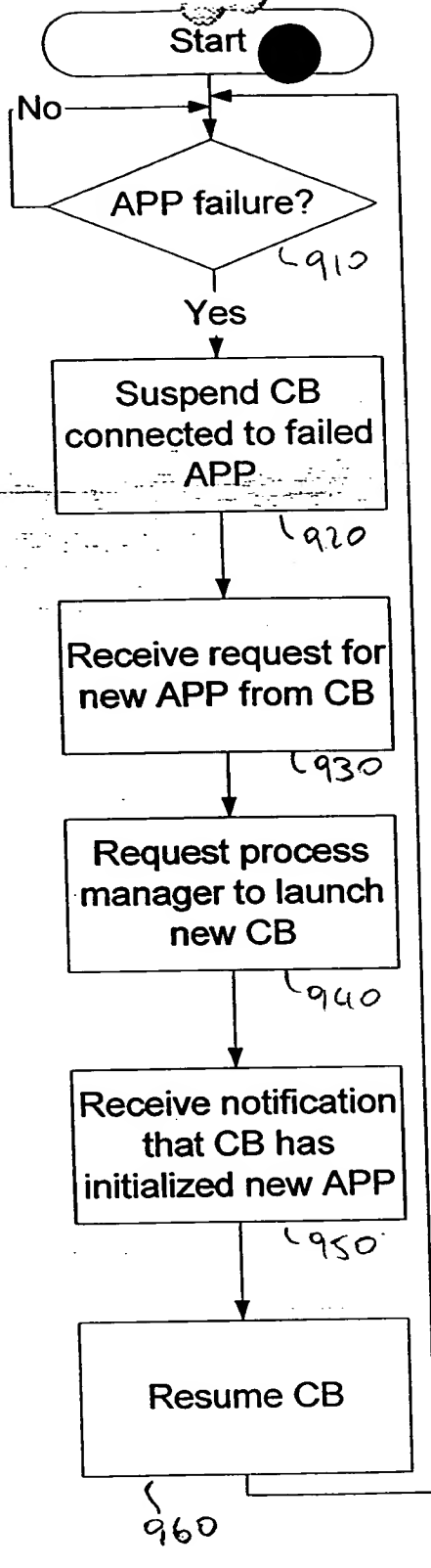


Fig. 9

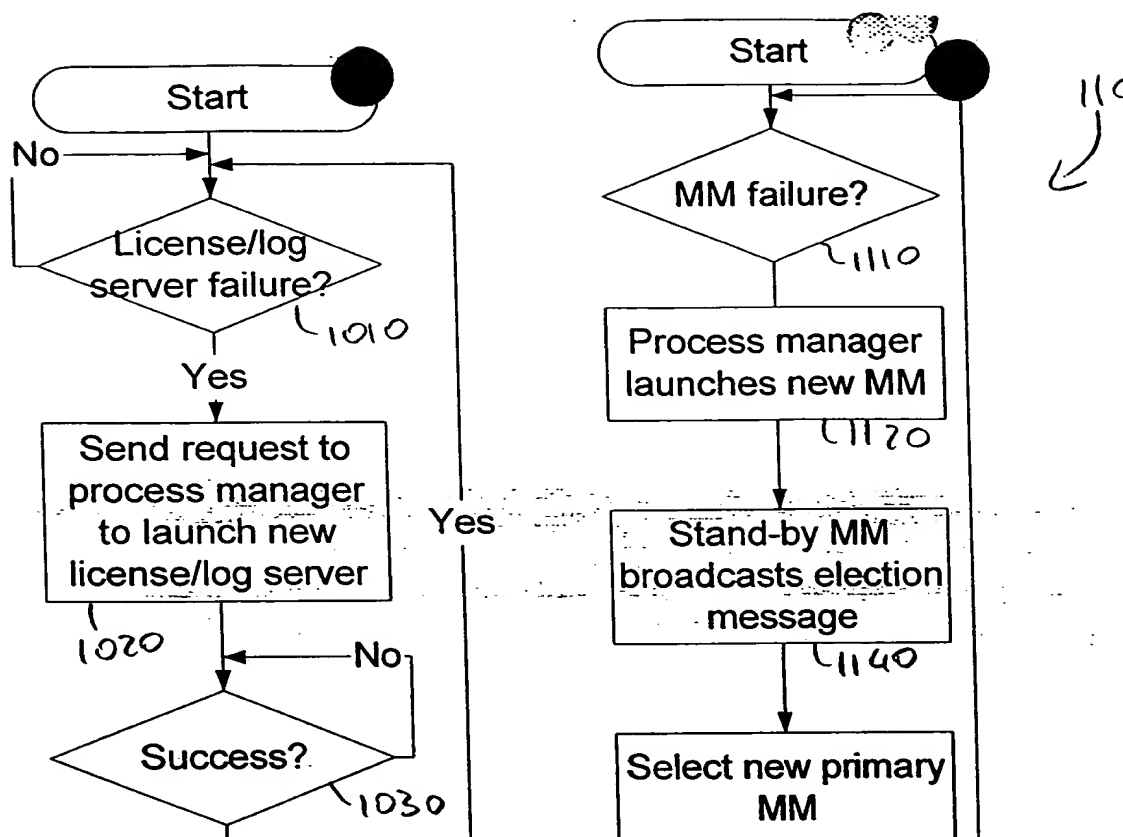


Fig. 10

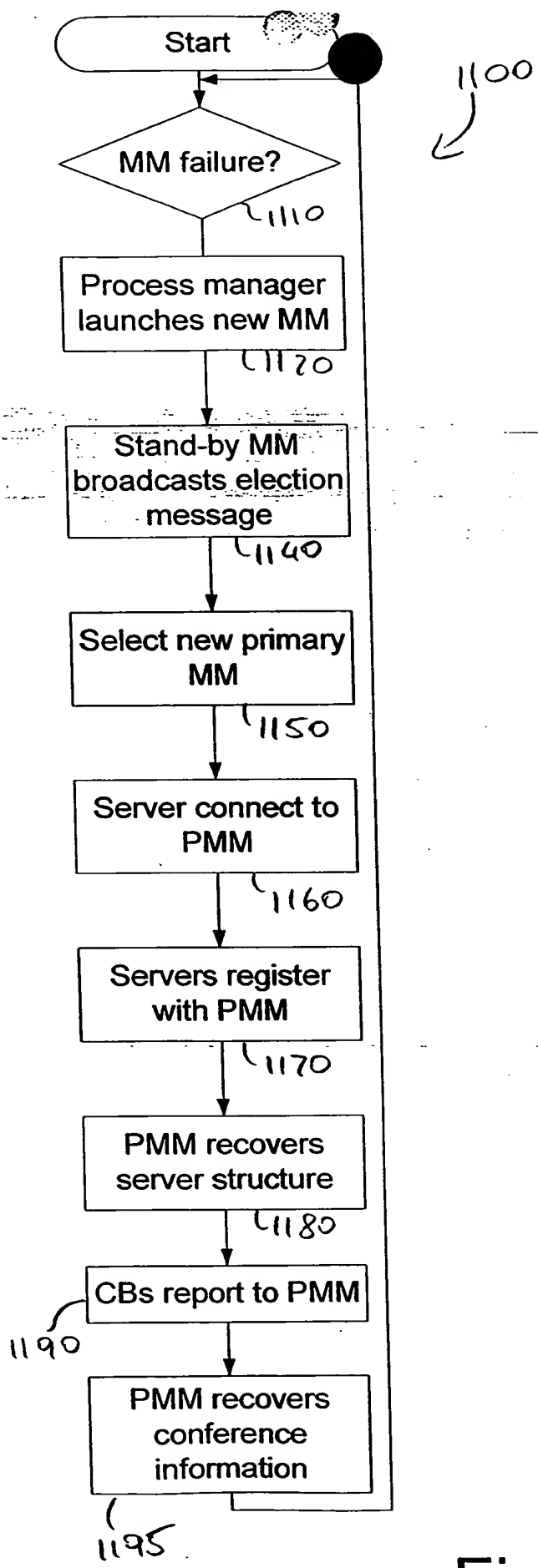


Fig. 11

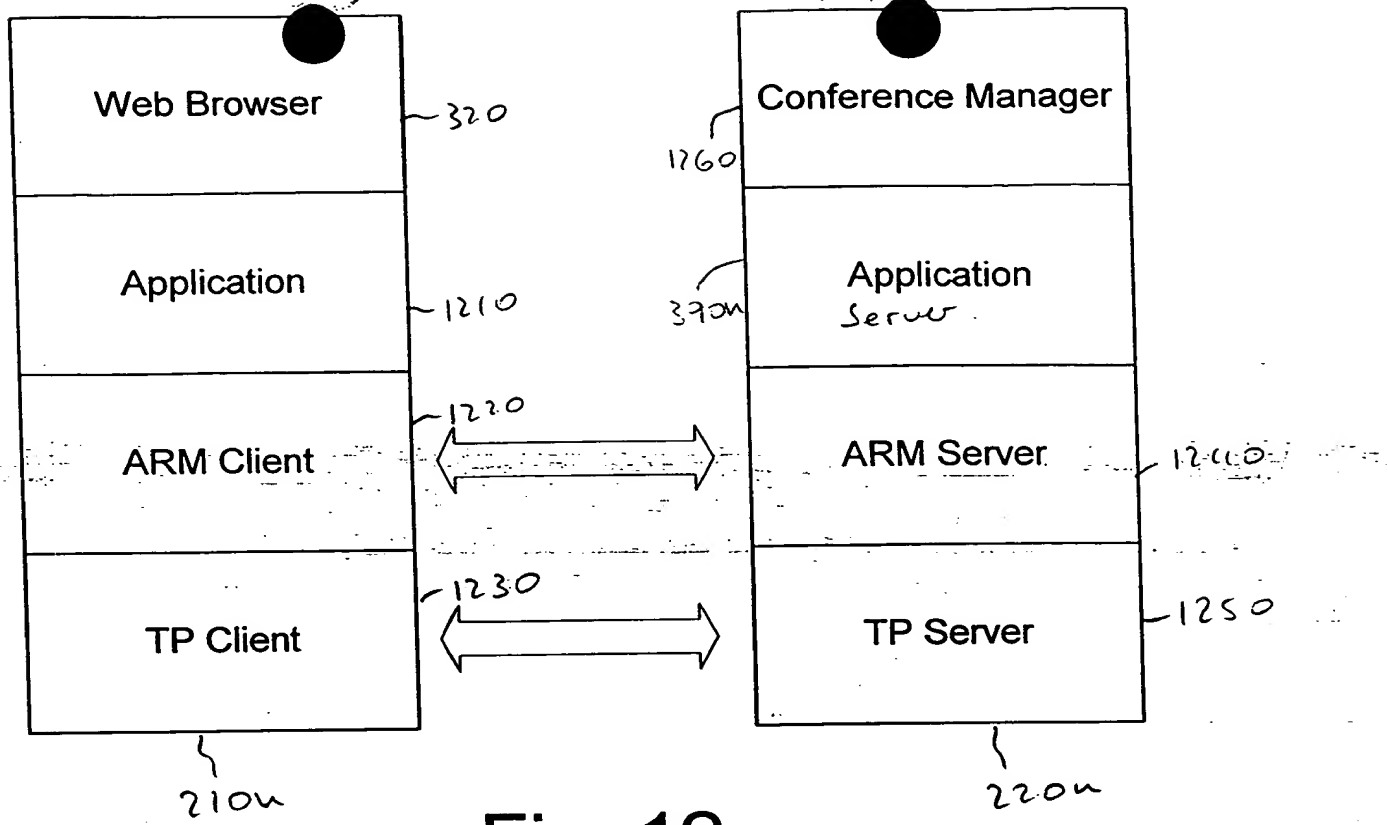


Fig. 12

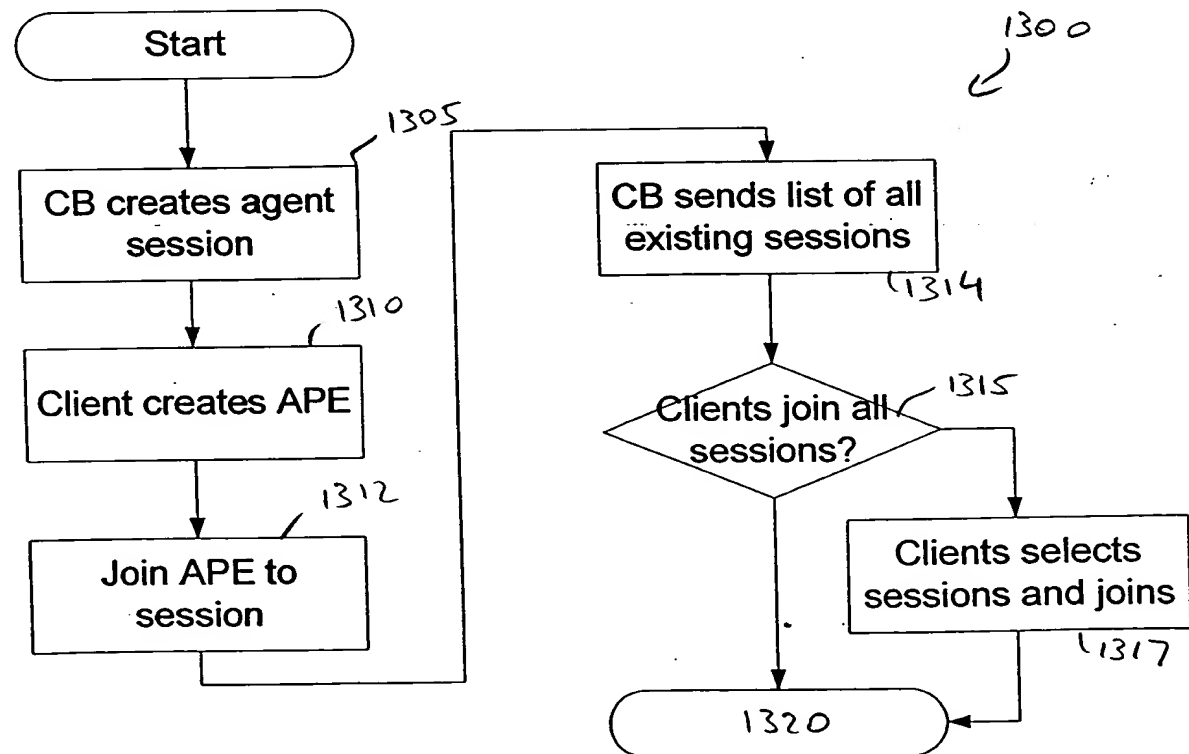


Fig. 13A

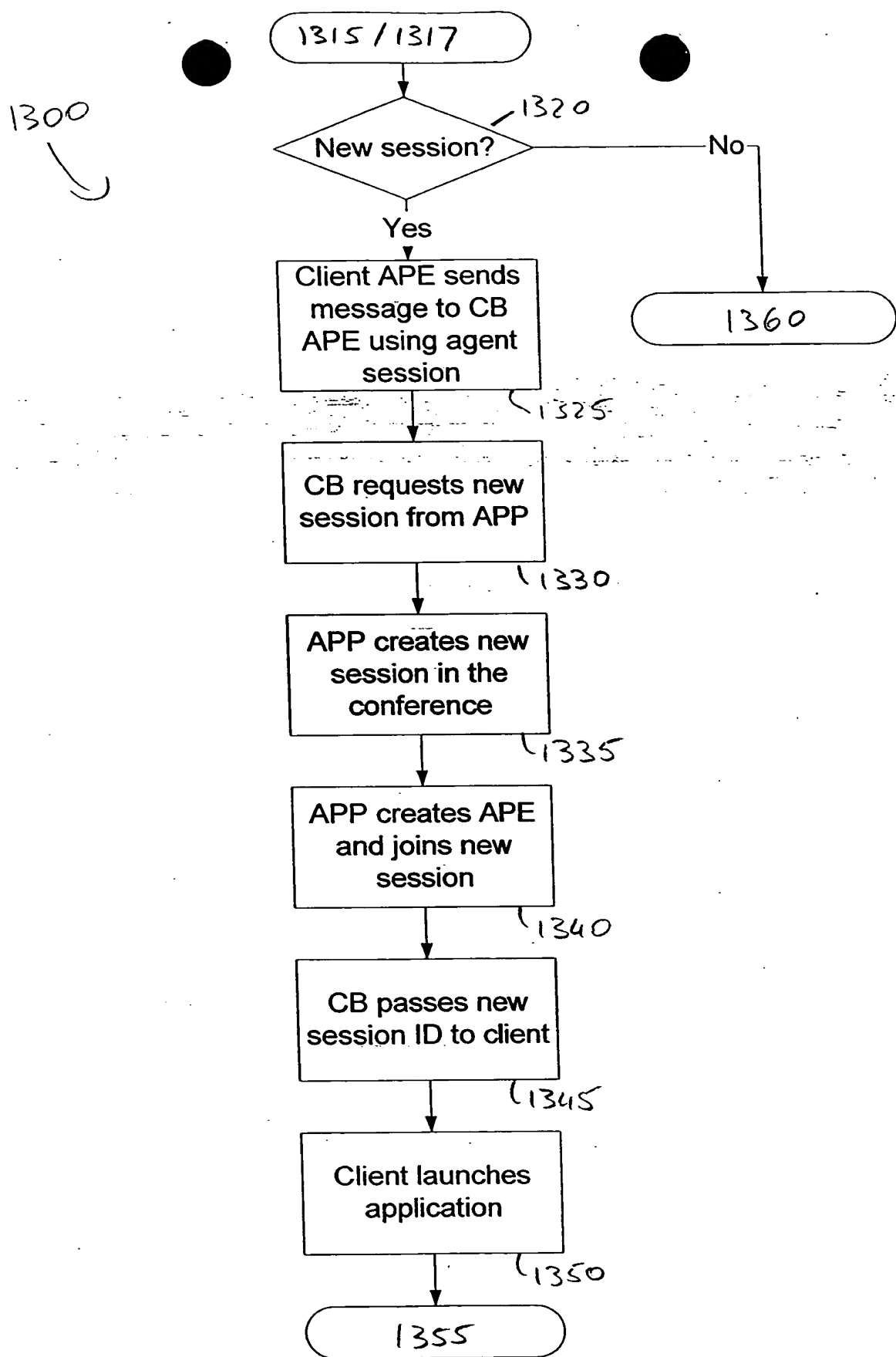


Fig. 13 B

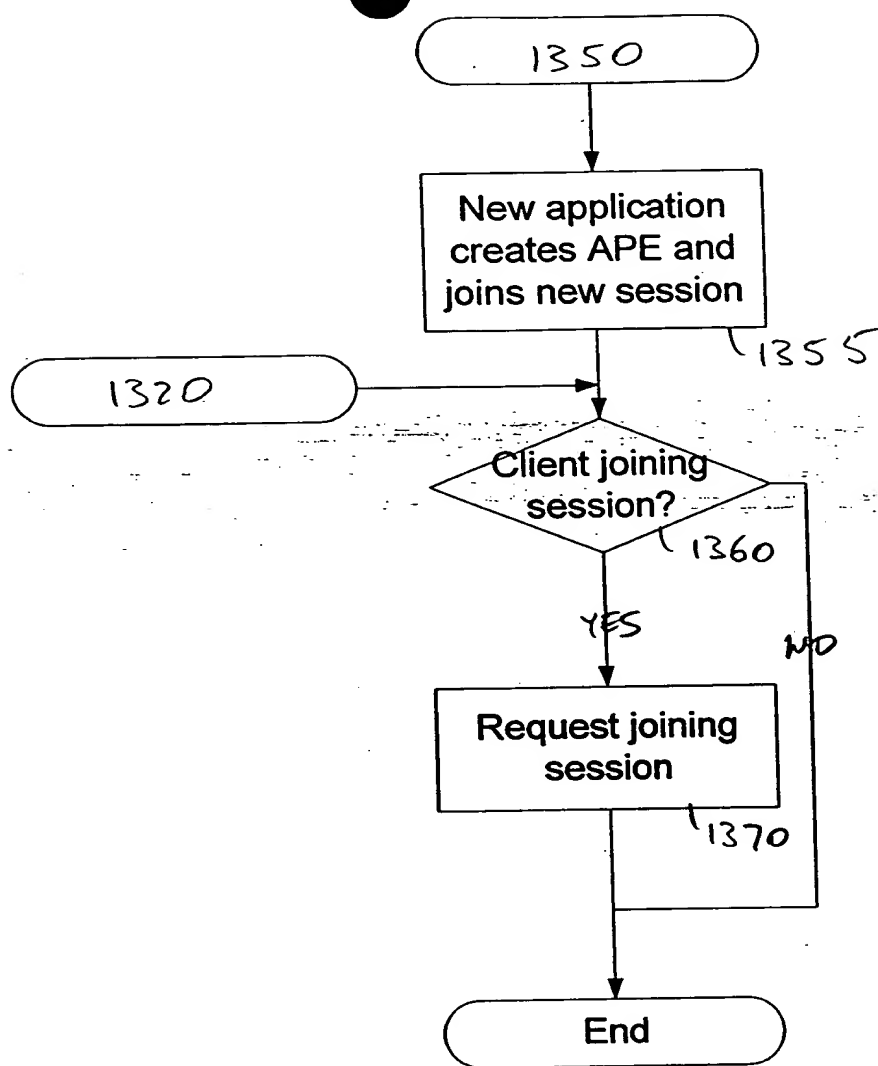


Fig. 13 C

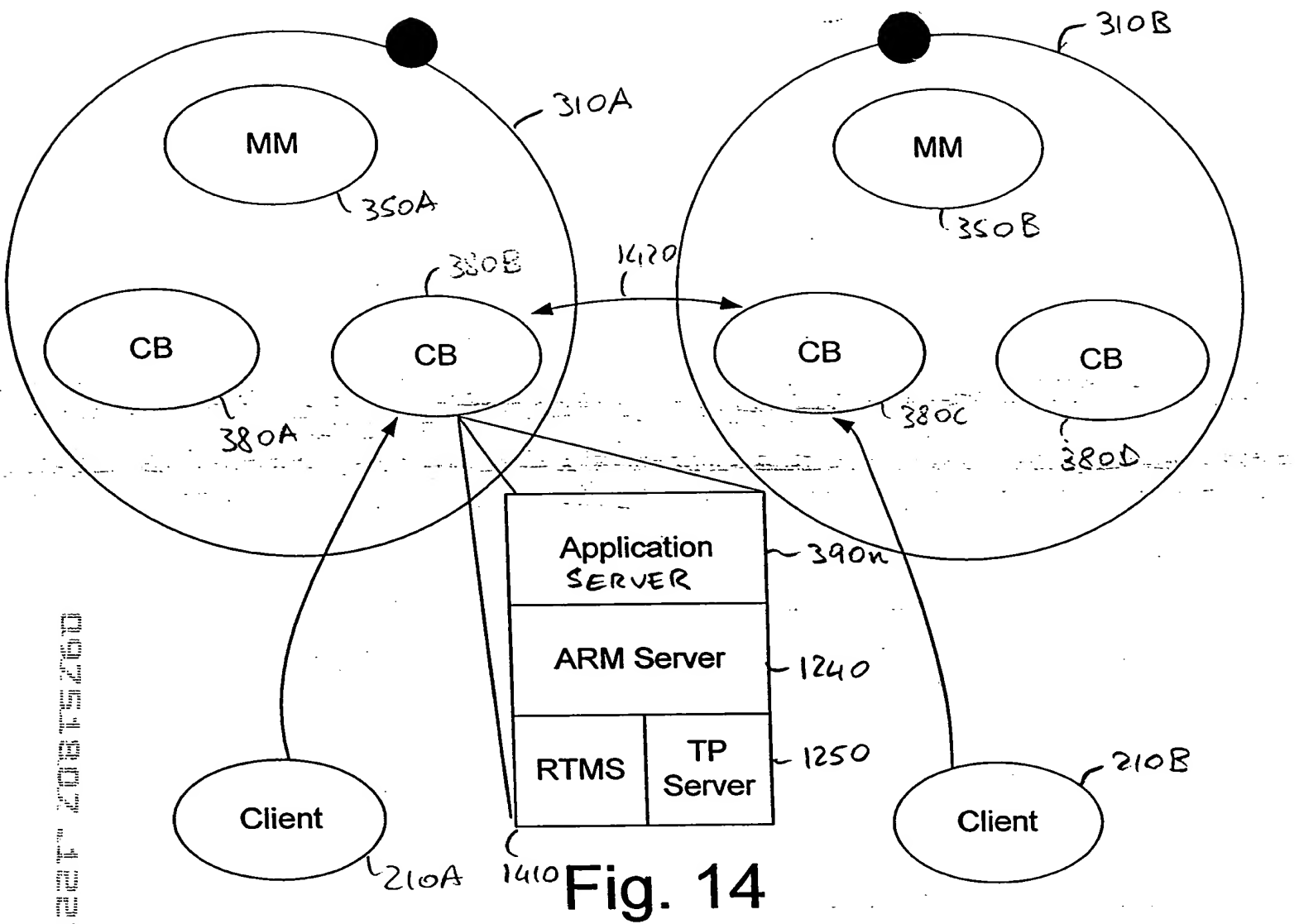


Fig. 14

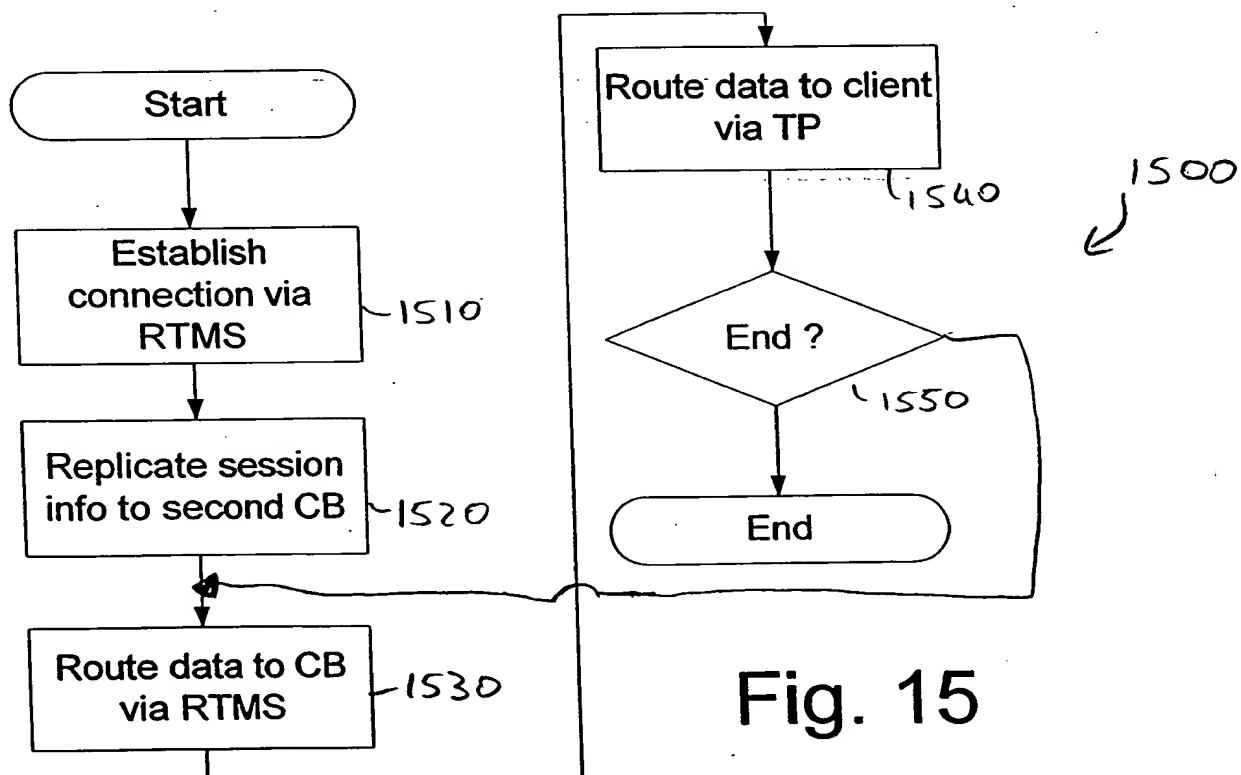


Fig. 15

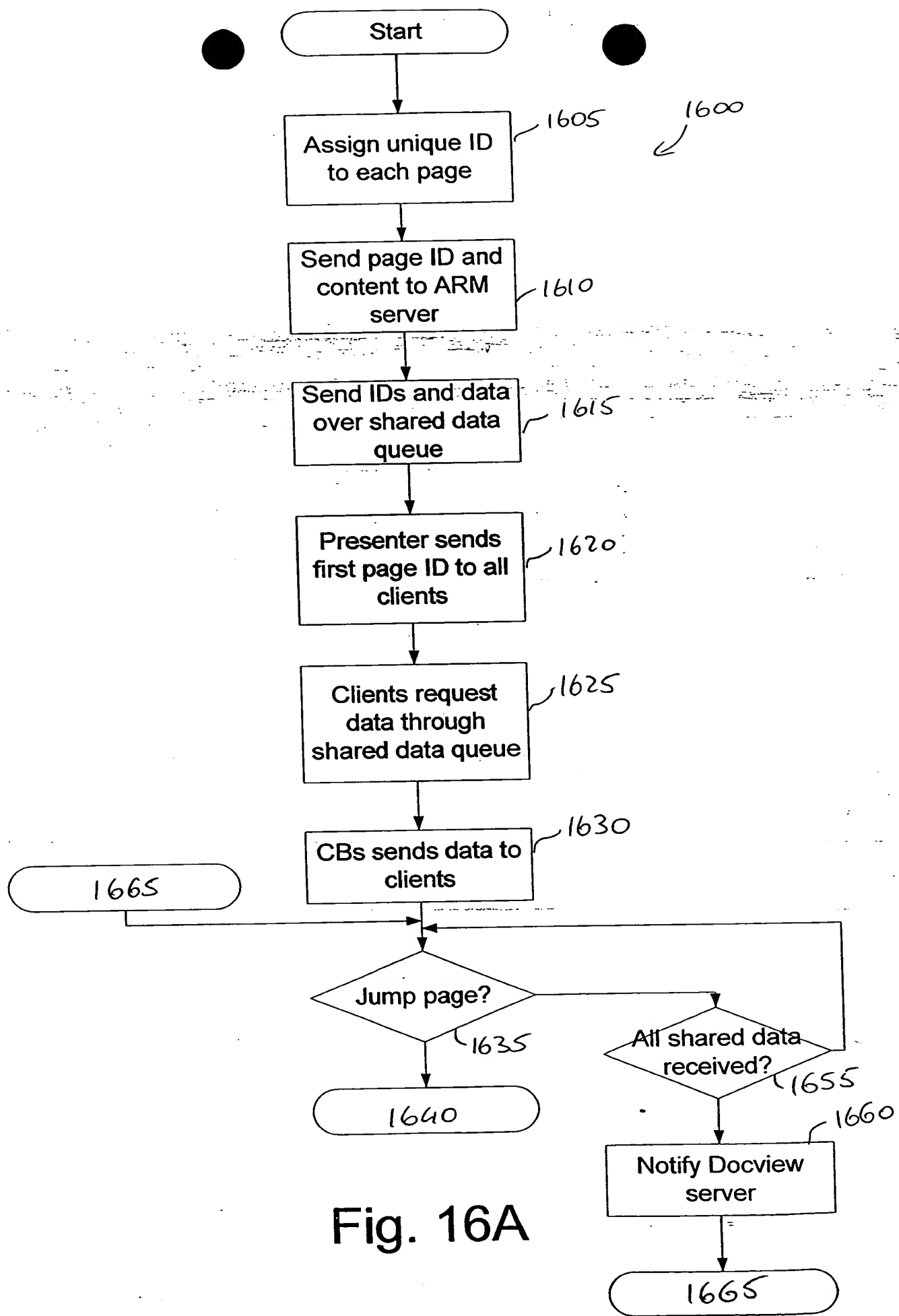


Fig. 16A

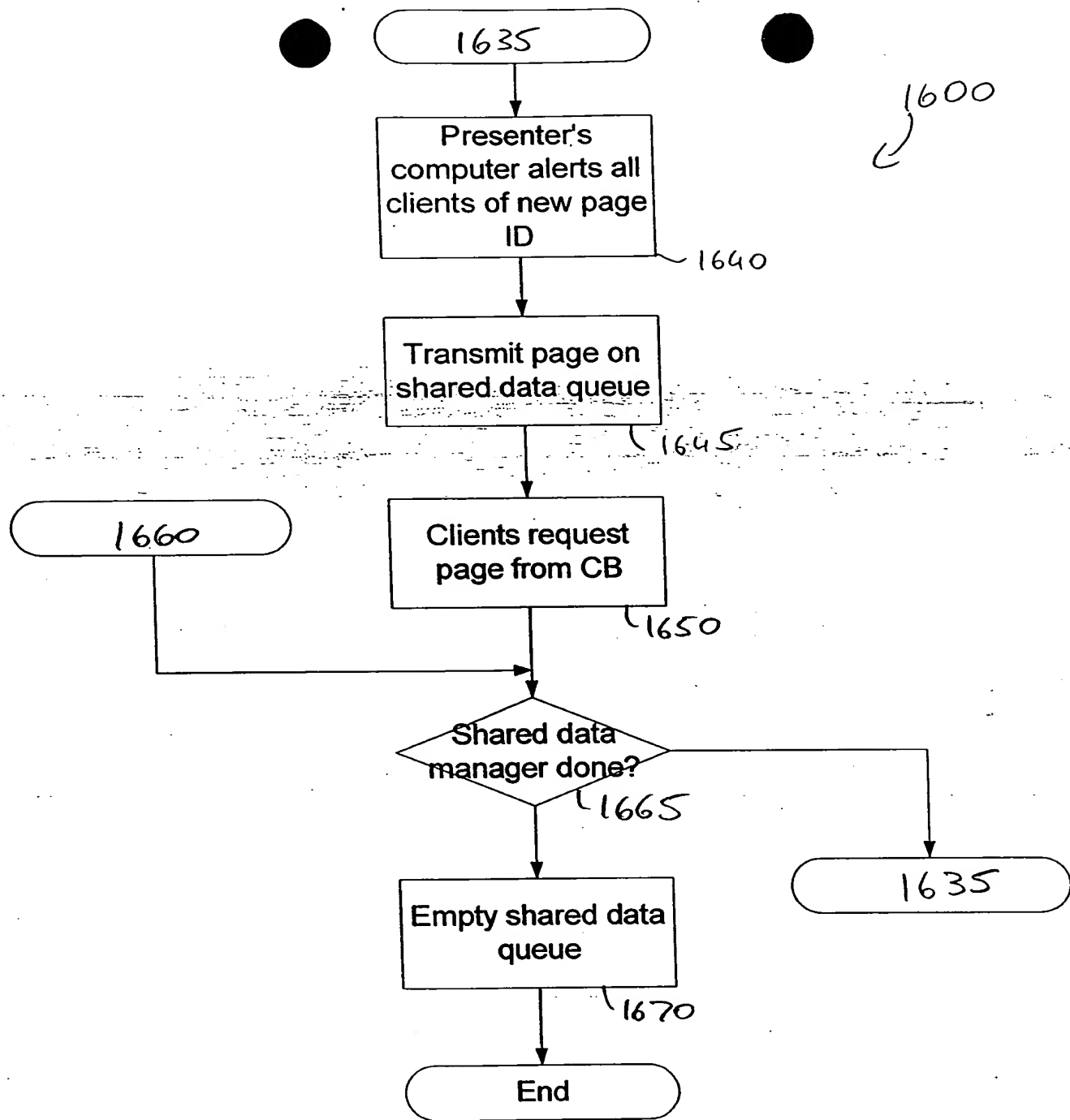


Fig. 16B

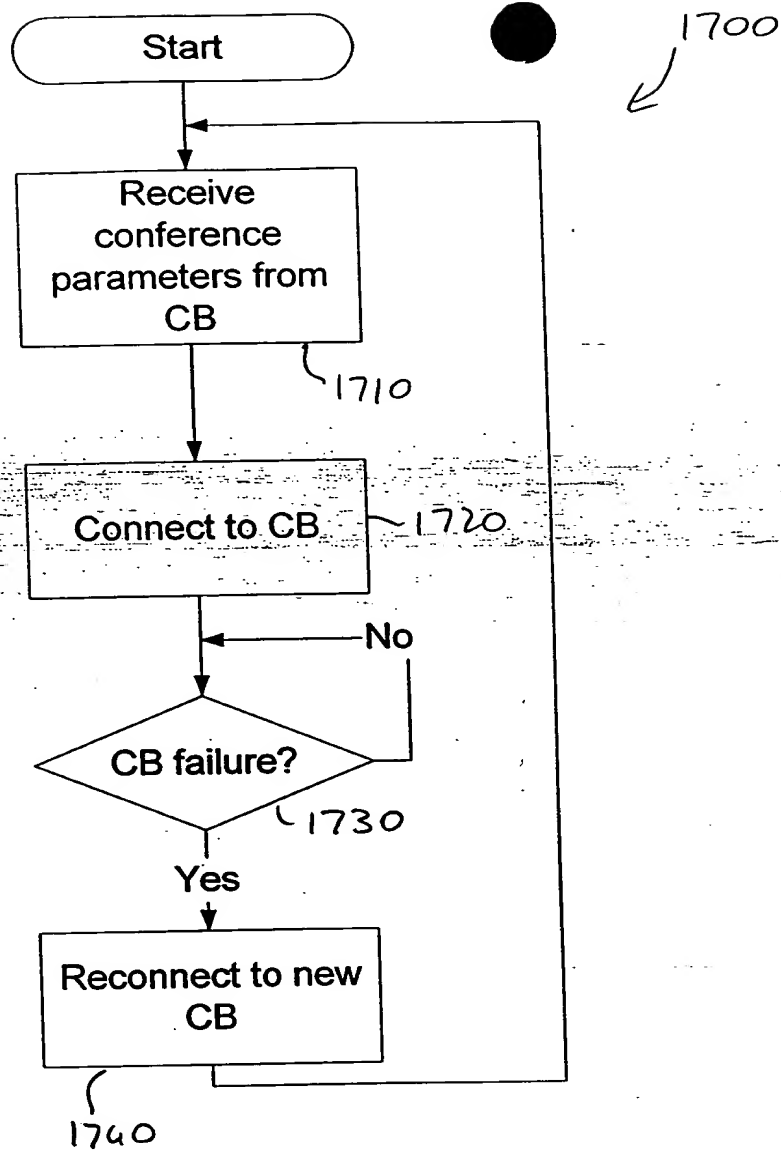


Fig. 17

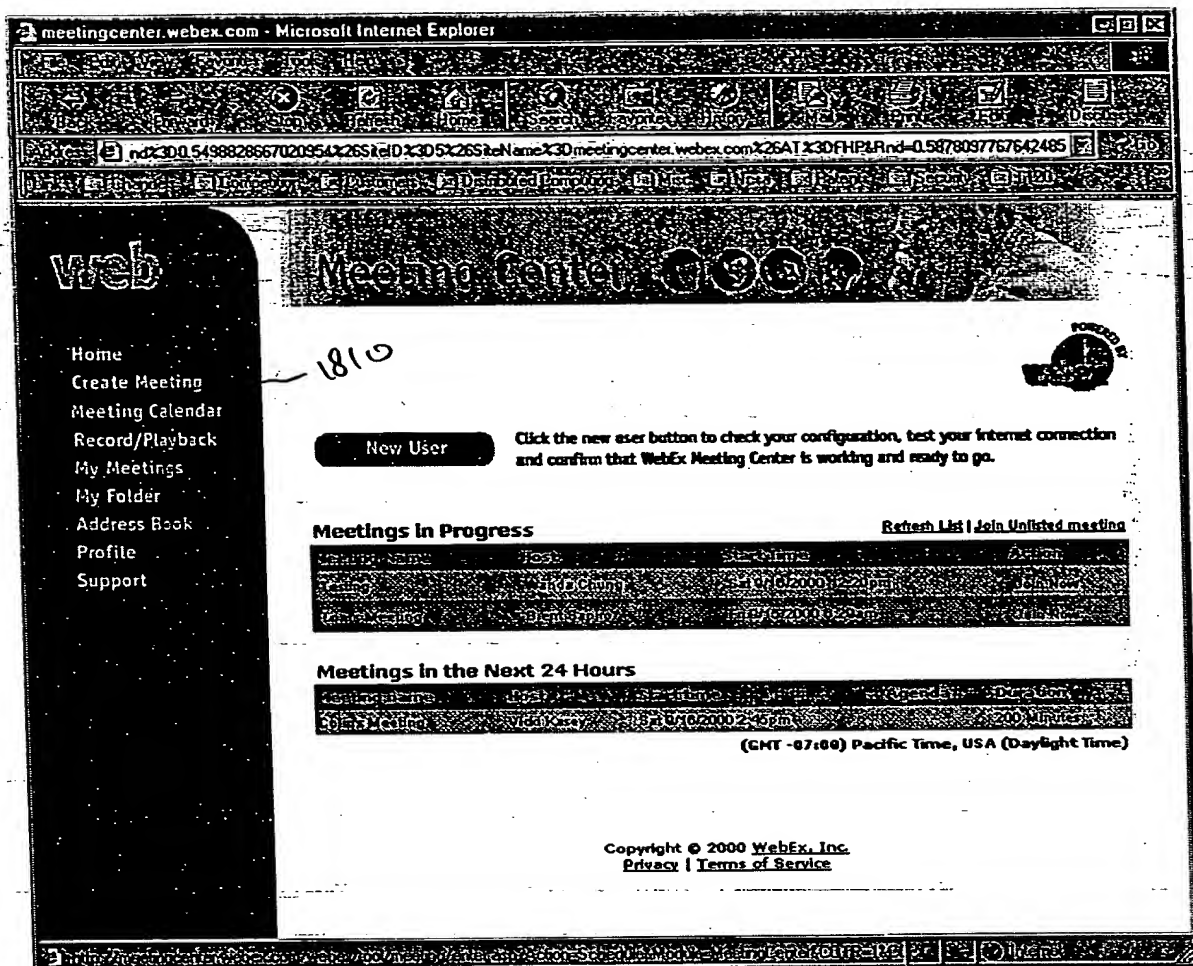


Fig. 18 A

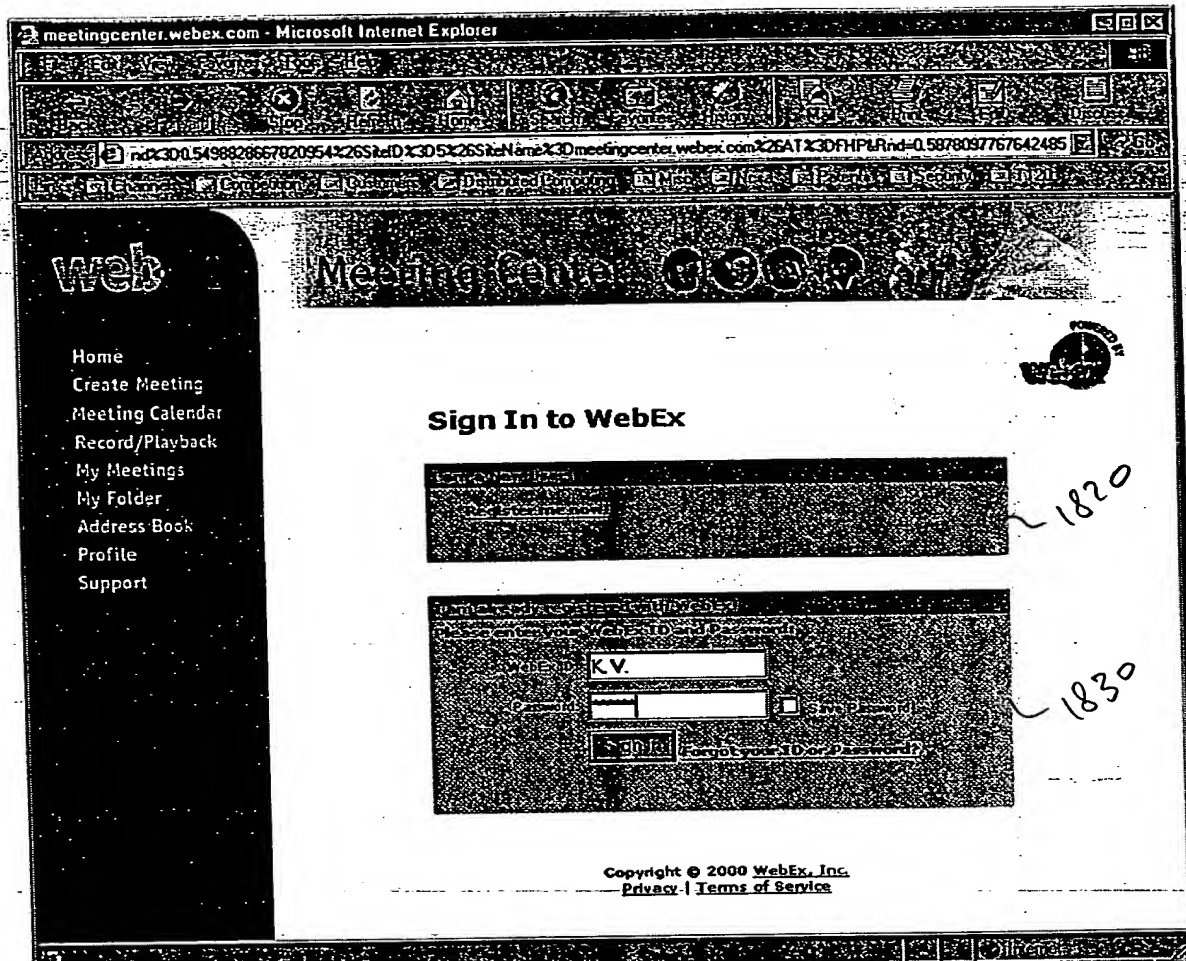
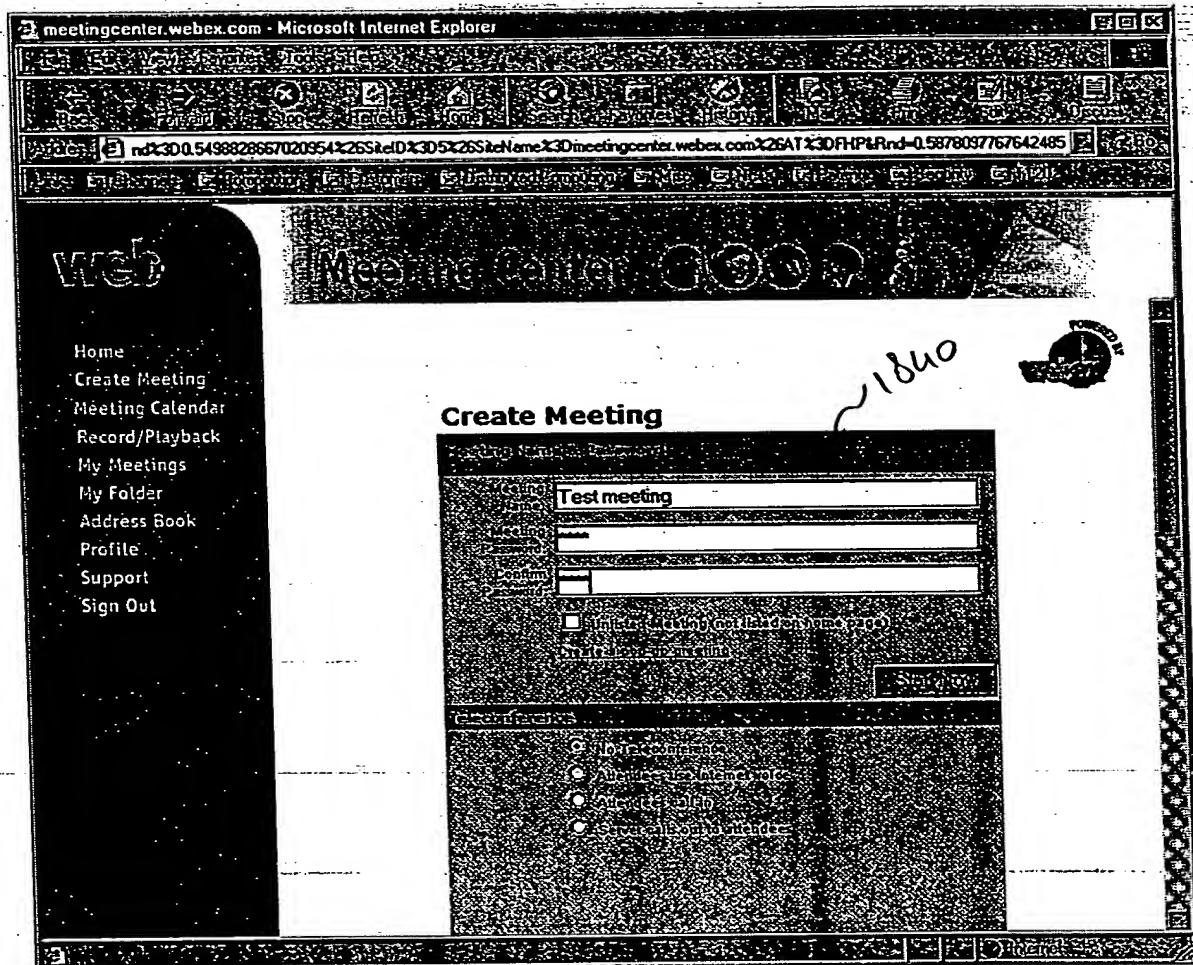
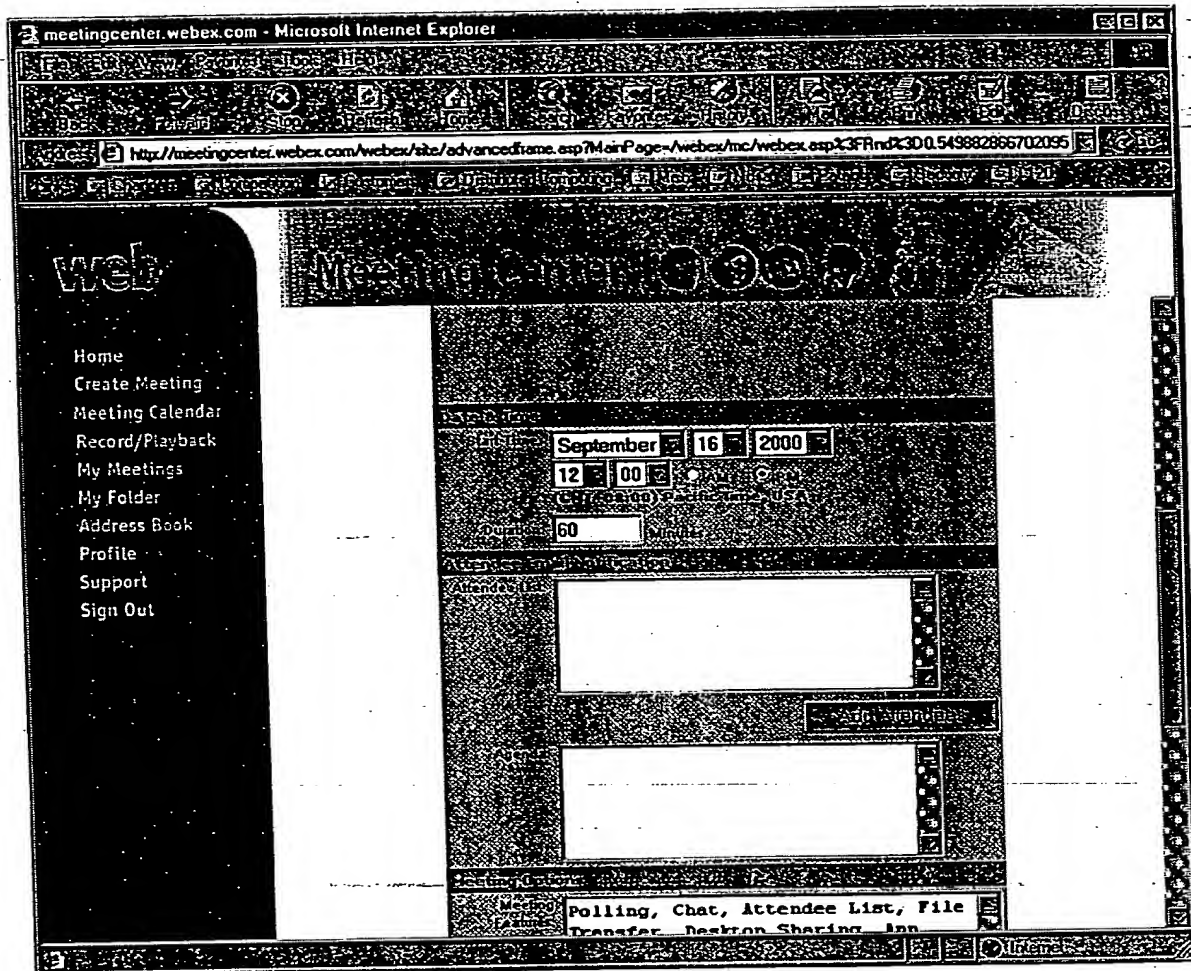


Fig. 18 B



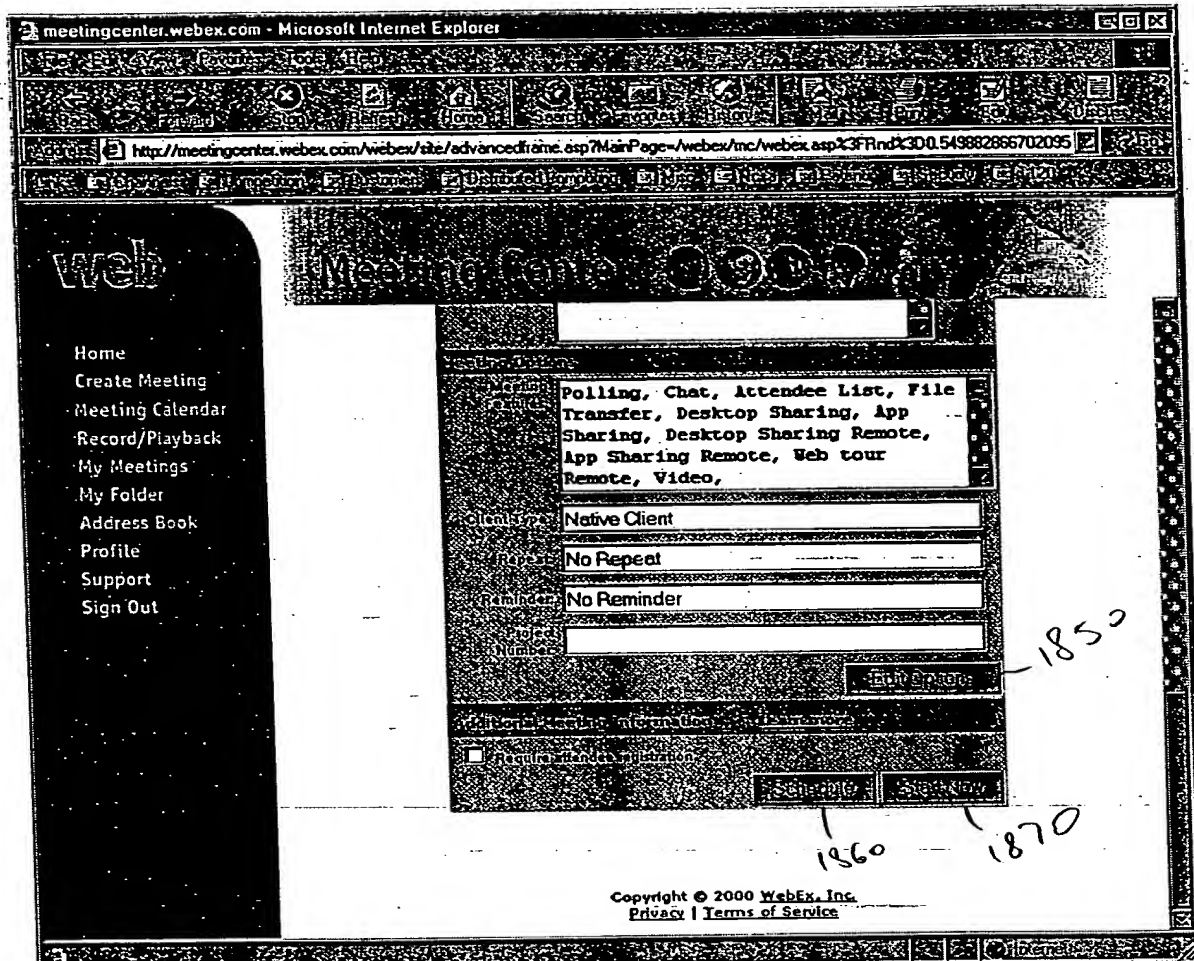
1800 Fig. 18C1

0929160023423900



1800

Fig. 18C2



1800

Fig. 18C3

0.0734202 - 422000

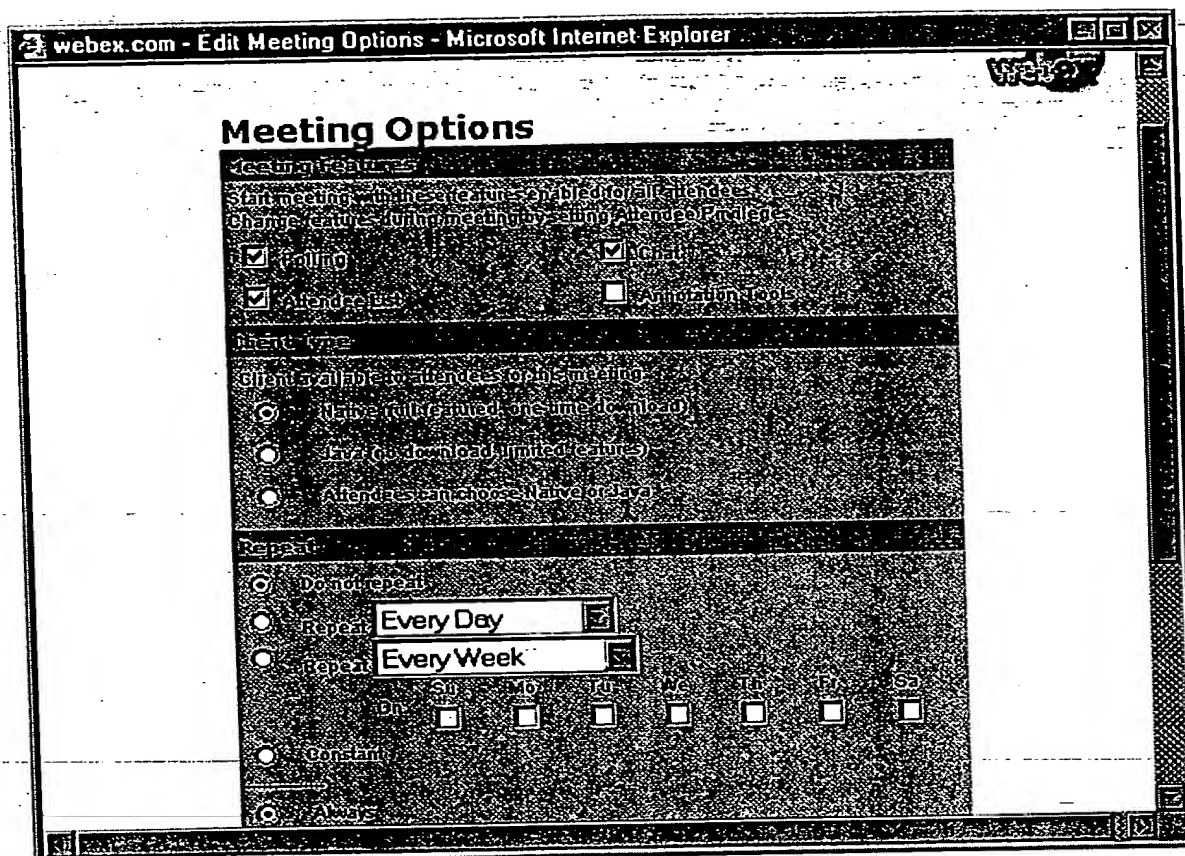
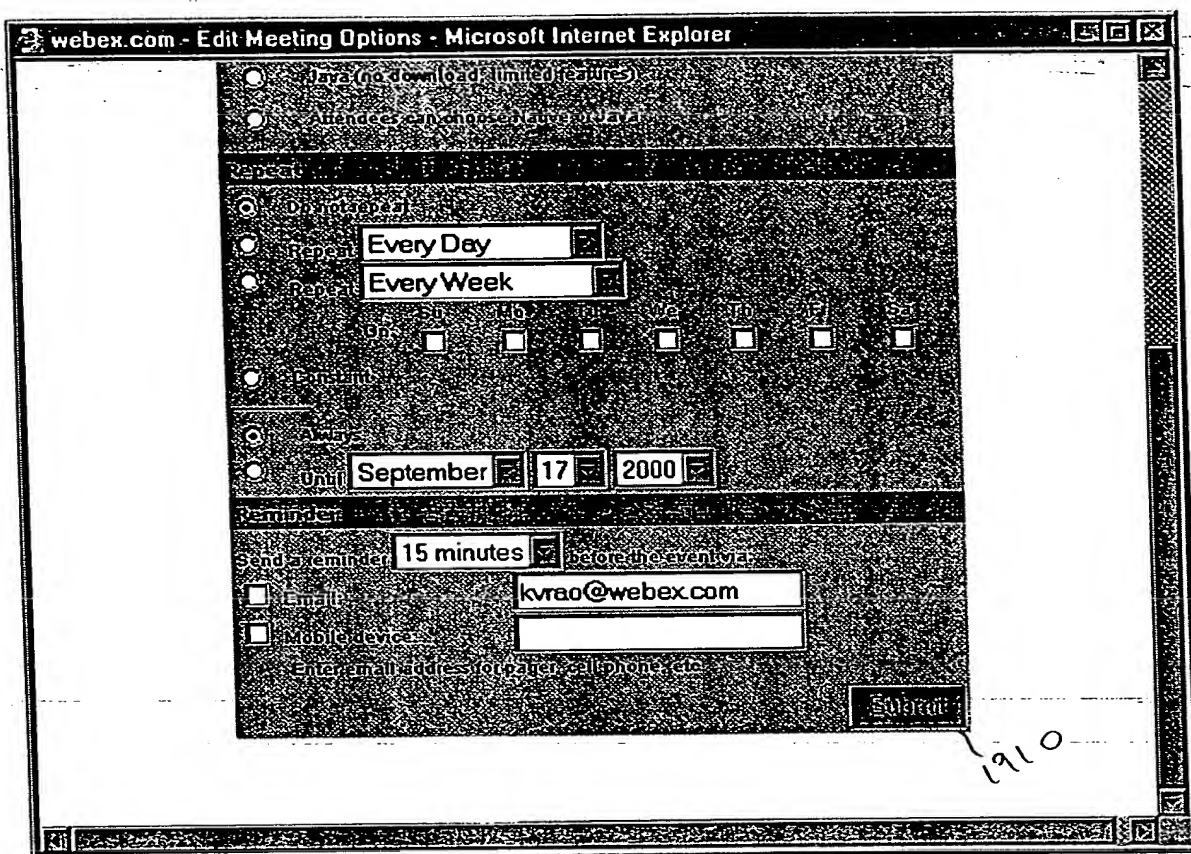


Fig. 19 A



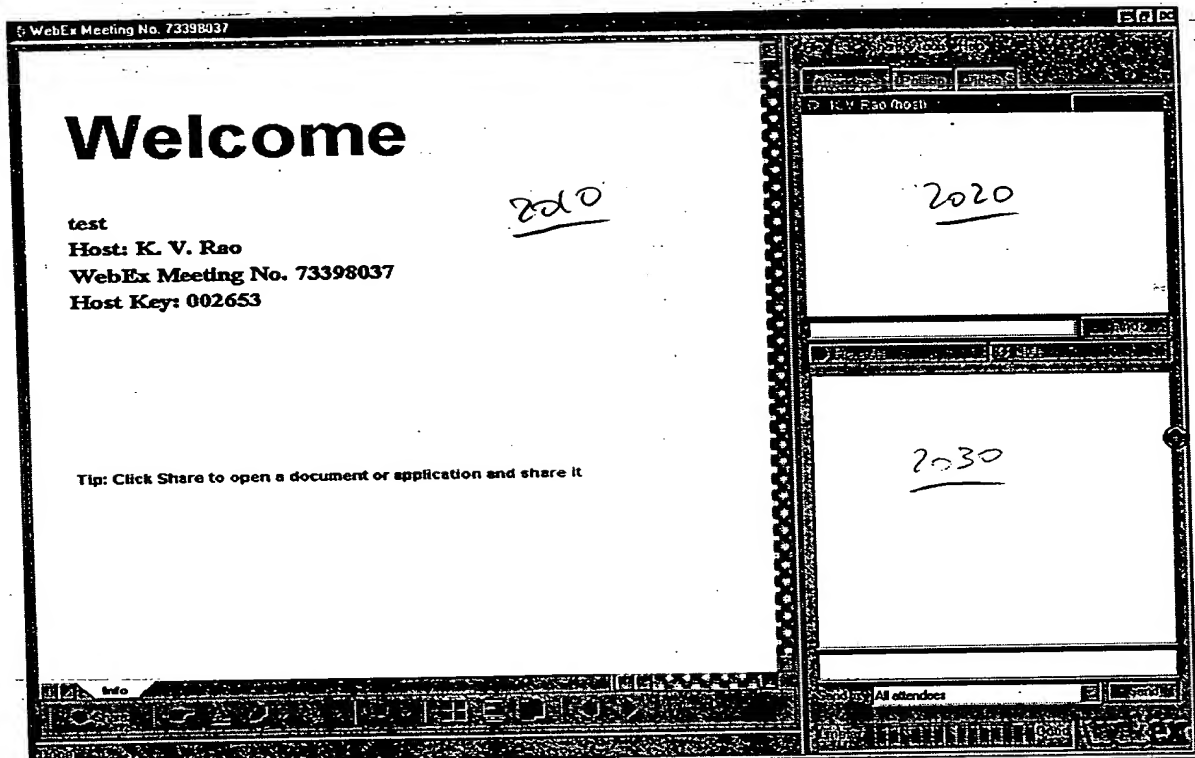
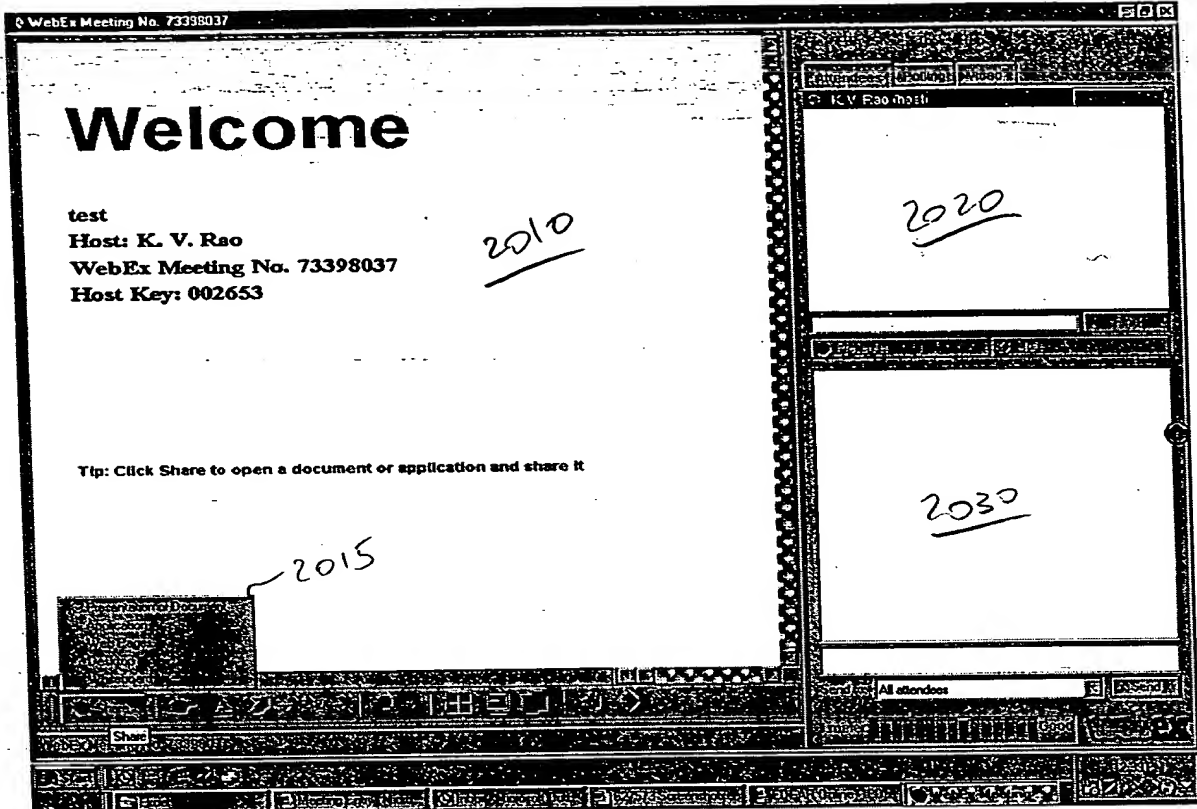


Fig. 20A

000000000000000000000000



(
Fig. 20B

092518032042000

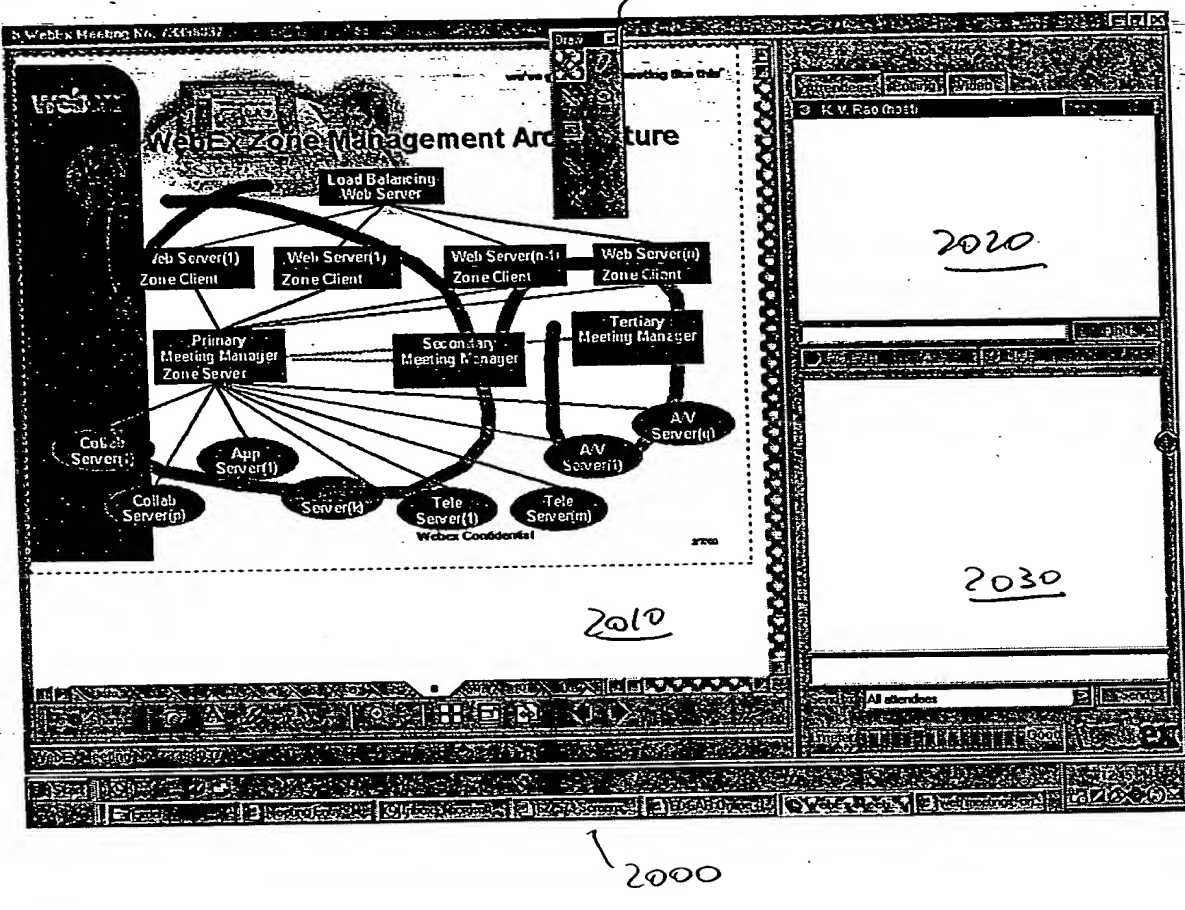


Fig. 20c